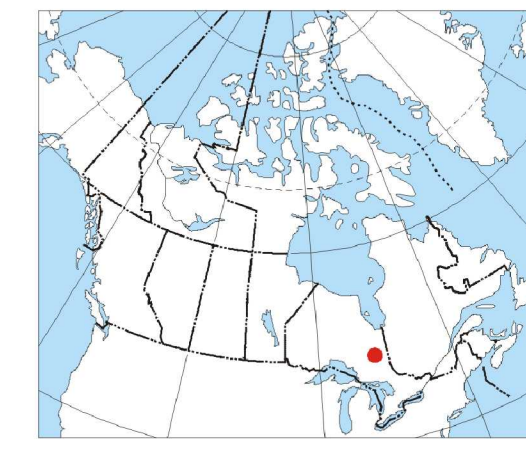


Project jointly funded by Industry Canada,
Ontario Ministry of Northern Development and
the Geological Survey of Canada.

This project was also subvencionné par l'Industrie Canada,
et la Commission géologique du Canada.

Le projet a également été subventionné par l'Ontario Ministry of Northern Development et
la Commission géologique du Canada.



GSC OPEN FILE/CGC DOSSIER PUBLIC 4446
OGS MAP/CGO CARTE 81 752
ELECTROMAGNETIC DECAY CONSTANT (TAU) WITH ELECTROMAGNETIC ANOMALIES
CONSTANTE DE TEMPS ÉLECTROMAGNÉTIQUE (TAU) ET ANOMALIES ÉLECTROMAGNÉTIQUES

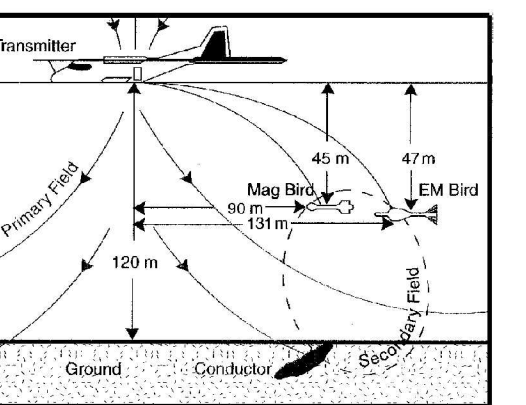
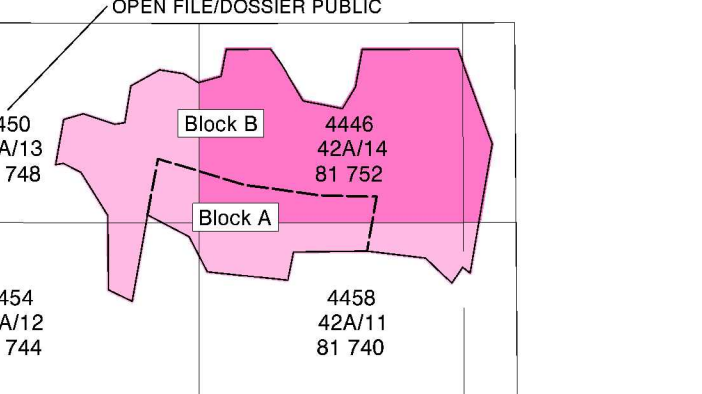
BUSKEGAU RIVER
ONTARIO

Scale 1:50 000/Echelle 1/50 000
1000 0 1000 3000 (meters)

NAD27/UTM zone 17N
Universal Transverse Mercator Projection
Système de projection transversale universelle de Mercator
© Her Majesty the Queen in Right of Canada, 2002

Digital base map provided by the Ministry of Natural Resources Ontario Base Map.
Fond de carte numérique: Carte de base de l'Ontario Ministère des ressources naturelles.

L'acquisition ainsi que la compilation des données de la production des cartes furent effectuées par Fugro Airborne Surveys, Ottawa, Ontario. La production des cartes fut effectuée par la Commission géologique du Canada, Ottawa, Ontario. Les copies de cette carte et les données géophysiques numériques sont disponibles au Centre des données géophysiques à la Commission géologique du Canada, Ottawa, Ontario, et à la Vente des publications, Ministère du Développement du Nord et des Mines, 935 Ramsey Lake Road, Sudbury, Ontario, P3E 6B5.



DESCRIPTIVE NOTES

INTRODUCTION
This map was compiled from data acquired during an airborne electromagnetics-magnetic survey carried out by FUGRO AIRBORNE SURVEYS utilizing a time-domain electromagnetic (EM) system. The system was mounted on a DeHavilland DASH 7 aircraft. This is a four engine aircraft carrying the registration C-GJPL. The survey was carried out during the period February 1 to March 23, 2002.

The traverse-line spacings were 125 m and 150 m for block A and B, respectively. The control-line spacing was typically 100 m. The survey was conducted in a north-south direction, generally parallel to the major geological trends of the area. The aircraft flight-elevation was maintained at an average ground clearance of 120 m. Navigation was provided by a Global Positioning System (GPS) receiver. The path of the aircraft was determined using post-flight differential GPS corrections. A vertically-mounted magnetometer was used to record the magnetic field. The ground radar altitude was recorded once per second using a KHA405 unit, and the barometric altitude was also recorded once per second using a CS-3 cesium-vapour barometer.

The time-domain EM system transmits a signal from a horizontal loop centred on the aircraft, and measures the response of a vertical loop carried on the aircraft. The time-domain EM system includes the acquisition of 80 Hz data from the X and Z coil channels. It is 8 to 10 seconds per second for block A and 10 to 15 seconds per second for block B. The receiver measures directly from the secondary magnetic field. It is numerically integrated over time. A slow rate of decay, reflecting a high conductivity, will be represented by a high decay constant value.

The completed decay constant values were then interpolated onto a regular 50 m grid using an Akima spline algorithm. The grid was corrected for system asymmetry to allow the fine-line herringbone pattern common to towed-loop EM systems to flow over the leading conductors.

EM ANOMALIES
The quantitative interpretation of the MEGATEM® data is accomplished by comparing the resultant EM responses with type-curves generated from laboratory studies. The change in amplitude of a given response is dependent upon the conductance of the source. The reference nomogram for the time-domain EM system is that of a vertical sheet produced from a thin sheet model with 600 m strike length and 300 m depth, located at ground surface. If the shape of a geological feature is different from the reference model, the resulting response may be misleading. In some situations, meaningless. Therefore, caution should be exercised when making recommendations for drilling or other follow-up activities based on quantitative interpretation of airborne EM data. Other results will be obtained using other models for quantitative interpretation.

NOTES DESCRIPTIVES

Cette carte a été compilée à partir des données acquises pendant un levé électromagnétique-magnétique aérien exécuté par FUGRO AIRBORNE SURVEYS en utilisant un système électromagnétique (EM) dans le domaine du temps. Le système était installé à bord d'un avion quadrimoteur modèle DASH 7 de Havilland portant l'immatriculation C-GJPL. Le levé fut exécuté pendant la période allant du 16 février au 23 mars 2002.

L'espacement des traversées était de 125 m et 150 m pour les blocs A et B respectivement. Les lignes de contrôle furent volonté selon un espaceement systématique de 2 km, sauf dans un petit bloc situé dans la partie centrale du côté sud où l'espaceement fut de 200 m. L'avion fut maintenu à une élévation moyenne de 120 m au-dessus du sol et sur l'expérimentation fut de 200 m. L'avion fut maintenu à une élévation moyenne de 120 m au-dessus du sol. La navigation fut fournie par un système de positionnement par satellite (GPS). La trajectoire de l'avion fut déterminée à l'aide de corrections différentielles GPS verticales. Un magnétomètre monté verticalement fut utilisé pour mesurer le champ magnétique terrestre. La hauteur radar au sol fut enregistrée une fois par seconde. La hauteur barométrique fut enregistrée une fois par seconde à l'aide d'un magnétomètre à vapeur de cézium modèle CS-3.

Le système EM transmet une impulsion en utilisant une boucle horizontale centrée sur l'avion et mesure les réponses des conducteurs enfouis dans le sol au moyen d'une capteur à trois composantes (X/Z/Y) placé à bord d'un autre avion. Le système comprend l'acquisition de données à 80 Hz pour les canaux X et Z. Il prend 8 à 10 secondes pour chacune des trois composantes. Il mesure directement dB/dt à partir duquel le champ magnétique secondaire est calculé et intégré temporellement. Le système EM opère à une fréquence de base de 30 Hz et à une bande de 90 Hz.

CONSTANTE DE TEMPS (TAU)
Les valeurs des constantes de temps sont calculées en ajustant une fonction exponentielle décroissante à l'amplitude des composantes dB/dt en X et en Z pour 90 Hz (580 à 415 µs) pour 90 Hz (651 à 500 µs) et pour 90 Hz (300 µs). Sur un graphique semi-logarithmique, la pente de cette fonction est l'inverse de la constante de temps. L'interprétation quantitative de ce levé est basée sur la forme de la réponse et la forme de la réponse, conjointement avec le patern de réponse et la topographie. Les réponses causées par des conducteurs horizontaux sont identifiées par le patron de lignes de transmission et la bande de vitesse des脊nes d'Akima.

ANOMALIES (EM)
L'interprétation quantitative des données MEGATEM® fait faire un comparaison des réponses avec les types obtenus par modélisation mathématique. Les rapports d'amplitudes des canaux sont principalement fonction de la conductivité de la source, l'amplitude de la réponse varie avec la profondeur et la géométrie du conducteur. Le nomogramme type pour ce levé est celui d'une plaque verticale de 600 m de longueur et 300 m de profondeur située à la surface. Si la géométrie est différente de celle du modèle de référence, toutes les estimations ne sont plus valides, ou même sans aucune signification dans des cas limites. On devra donc être très prudent lors de recommandations de forages ou d'autres travaux de suivi basés sur l'interprétation quantitative des données EM acquises. Des interprétations quantitatives différentes seront obtenues pour d'autres modèles.

Le système MEGATEM® répond aux murs terrains conducteurs, aux couches conductrices horizontales près de la surface, aux conducteurs superficiels et aux conducteurs du socle rocheux. L'identification des conducteurs d'origine est basée sur la forme de la réponse et la forme de la réponse, conjointement avec le patern de réponse et la forme de la réponse, conjointement avec le patern de réponse et la topographie. Les réponses causées par des conducteurs aquatiques sont identifiées par le patron de lignes de transmission et la bande de vitesse du vélum.

MEGATEM®
Fréquence (Hz) 30 90 2.2x10⁴
Moment max. du pôle (Am²) 3936 2200
Largeur de l'impulsion (µs) 3936 2200
Durée moyenne (µs) 12360 1825
Répétition d'impulsion (per sec) 60 180

DECAY CONSTANT (TAU)
CONSTANTE DE TEMPS (TAU)
500 µs 500 µs
100 µs 100 µs
20 µs 20 µs
5 µs 5 µs
Dépression Dépression

PLANIMETRIC SYMBOLS **SYMBOLES PLANIMÉTRIQUES**

Roads Routes
Railway Chemin de fer
Power Line Ligne de transport d'énergie
Drainage Drainage

**AIRBORNE MEGATEM® SURVEY
DISCOVER ABITIBI PROJECT
TIMMINS AREA**

**LEVÉ MEGATEM® AÉROPORTÉ
PROJET DÉCOUVRONS L'ABITIBI
RÉGION DE TIMMINS**

**OPEN FILE
DOSSIER PUBLIC**
4446
DISCOUVRONS L'ABITIBI
COMMISSION GÉOLOGIQUE DU CANADA
2002

Open files are products that have not gone through the formal publication process.
Les dossier public sont des produits qui n'ont pas encore subi le processus officiel de publication de la CGC.

This file is for presentation information. This map has not received a technical edit. Every possible effort has been made to ensure the data is as accurate as possible.
Ce dossier public est destiné à la présentation de l'information. Ce plan n'a pas reçu d'édition technique. Toute effort a été fait pour assurer que les données sont aussi précises que possible.

Recommendation:
Dimont, R., Coyle, M., Oreschuk, D. and Potvin, J.
2002: Magnetic decay constant (Tau) with electromagnetic anomalies.
Report number: 4446-1, 4446-2, 4446-3, 4446-4, Geological Survey of Canada Open File 4446, Ontario Geological Survey Map 81 752
Scale: 1:50 000.

Related bibliographic entries:
Dimont, R., Coyle, M., Oreschuk, D. and Potvin, J.
2002: Constante de temps électromagnétique (tau) et anomalies électromagnétiques. Bassin de la rivière Buskegau, Ontario. Rapport théorique et cartes. Université de Montréal, Québec, Canada, 2002.
Report number: 4446-1, 4446-2, 4446-3, 4446-4, Commission géologique de l'Ontario, 2002.